

【報 告】

LRTシステムプロジェクト(フィリピン)

Light Rail Transit System Project

堀内 岩夫 *
Iwao HORIUCHI
 岩崎 祐次 **
Yuji IWASAKI
 桐山 寿郎 ***
Jiro KIRIYAMA

〔要旨〕 現在、フィリピン国マニラ市において実施されているLight Rail Transit System プロジェクトは同国の都市内交通体系再編の核となるものであり国家的事業として取上げられたものである。

当社はフィリピン国最大手建設会社であるPNCCとの間にサブコントラクト契約を結びPasig River 橋の設計から施工までの業務を中心として軌道敷設工事、Tripa de Gallina 橋の架設など一連の建設に参画する事になった。

本業務報告ではPasig River 橋の建設にかかる設計面での技術的特色を紹介すると同時にTripa de Gallina 橋の架設施工についても報告することとした。設計面での技術的特色の1つは耐震設計法の考え方であり、他の1つはコンクリート下部構造物の終局強度設計法である。一方、Tripa de Gallina 橋の架設施工ではポンツーンを利用した引出し架設法について報告している。

1. はじめに

フィリピン共和国はアジア大陸の東南、マレー諸島の東北部に散在する大小7,109の島々からなっているが、岩礁だけの無人島が多い。フィリピンの面積は29万9,404平方キロメートルで、日本の本州と北海道とを合わせた面積に相当し、ルソン島およびミンダナオ島で全面積の7割を占めている。

一方、フィリピンの気候は11月～4月の乾季と5月～10月の雨季に分けられるが、フィリピンの年平均温度は27度で年間を通じてほとんど差がない。

現在、フィリピンにおける社会構造は輸出産業が一次産品中心であること、人口増加率が高いことおよび産業および人口の大都市への集中度が高いといった問題をかかえている。1980年におけるマニラ首都圏の人口は、590万人に達し、全人口の12%を占めている。こうした反面、マニラ市内の交通はジプニーという小型バスに頼っているのが現状で、こうした輸送機関は不便であるばかりでなく道路交通の混雑度に拍車をかけている。

こうした問題を解決するものとして市民の期待も大きく、フィリピン政府としても最も力を入れているプロジェクトとして、Light Rail Transit(LRT) プロジェクトが取り上げられ実施された。

2. LRT プロジェクトの概要

LRT の路線はマニラ旧市街部を南北に貫通するもの

で、北端はCaloocan City のBonifacio Monumento からRizal Avenue-Taft Avenue を南下してPasay City のQuirino South ICに至る約15km区間である。本線高架橋は、陸上部においては標準スパン25mのPC桁が連続している。

一方、河川を横断する部分は南端のTripa de Gallina 橋とPasig River 橋の二橋が建設される。前者は橋長50.48mと37.35mの下路トラスであり、後者は橋長138m(54m+57m+27m)の単純鋼桁橋3連である。また軌道はバラスト軌道が採用されている。

本プロジェクトの全体組織図を図-1に示す。

発注者はフィリピン国政府交通通信省で、メインコントラクターはフィリピン国最大手建設会社であるPhilipine National Construction Corporation (PNCC) とベルギーの鉄道建設関連企業4社よりなるコンソーシアム(ベルジアンコンソーシアム)との共同企業体である。

この共同企業体において、ベルジアンコンソーシアムは、高架鉄道システムの設計、システムに必要な機材・資材の供給およびシステム施工のスーパーバイジングを担当し、PNCC は高架橋、駅舎の建設等の土木工事の施工を担当している。政府との契約は1980年7月に締結され、今までに全体の約80%が完成し、一部営業開始を1984年秋に予定している。

*川田工業技術本部技術部技術二課課長 **川田工業国際事業部営業一課 ***川田工業富山本社工事部工事課

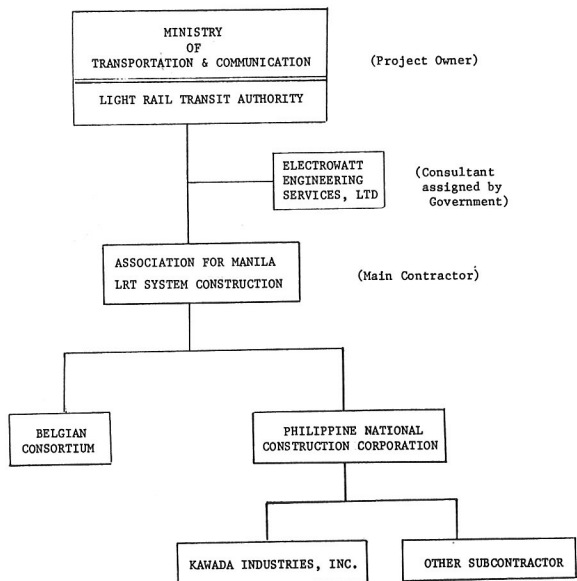


図-1 PROJECT ORGANIZATIONAL CHART

3. 当社の受注業務内容

当社はPNCCとの間に以下の業務についてサブコントラクトを結び、マニラ工事事務所を1983年4月に開設し、現在工事を進めている。

- 1) Pasig River 橋、上下部工の設計。
- 2) 一同一、鋼桁の製作、輸送、架設。
- 3) 一同一、河川部橋脚に取り付けるフェンダーシステムの設計、製作および取付け。
- 4) 一同一、河川部橋脚のコンクリート、フーチング打設用の鋼製型枠の設計、製作と輸送。
- 5) Tripa de Gallina橋の架設。
- 6) LRT全ルートの軌道敷設工事の施工（東鉄工業とのJV）。

Pasig River はLRT路線のほぼ中間点に位置し、橋梁計画地点附近で大きく蛇行し、かつ船舶の航行が多い河川であり、水深は約7mである。

4. Pasig River 橋の設計

4-1 計画段階

1982年8月、本橋の検討がはじまった。図-2でも明らかなように架橋地点の上下流には既設の橋梁があり、河川も架橋地点で大きく蛇行していることから上部構造は近接の既存構造物とほぼ同じ支間割の鋼単純鋼桁案を提案した。

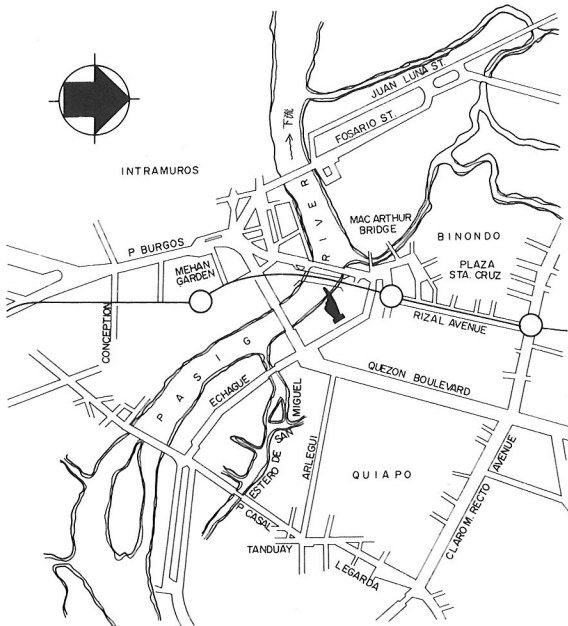


図-2 架橋地点

1983年2月よりマニラにおいてLRTプロジェクトのコンサルタントであるELECTROWATTと詳細な協議を重ねると同時に、5月にはELECTROWATTのエンジニアであるMr. Vopelが来日し最終的な設計図面の承認を受けた。本橋の構造一般図を図-3に示す。

4-2 上部構造

Pasig River 橋の諸元を以下に示す。

橋長	138 m
幅員	8.46 m
支間割	54m + 57m + 27m
形式	単純合成鋼桁
床版	鉄筋コンクリート床版 20 cm, バラスト道床
鋼重	表-1 参照

4-2-1 設計基準

- 1) Specifications For Design of Steel Railway Bridge 1981 Japanese National Railways.
- 2) Specifications For Fabrication of Steel Railway Bridges 1981 Japanese National Railways.

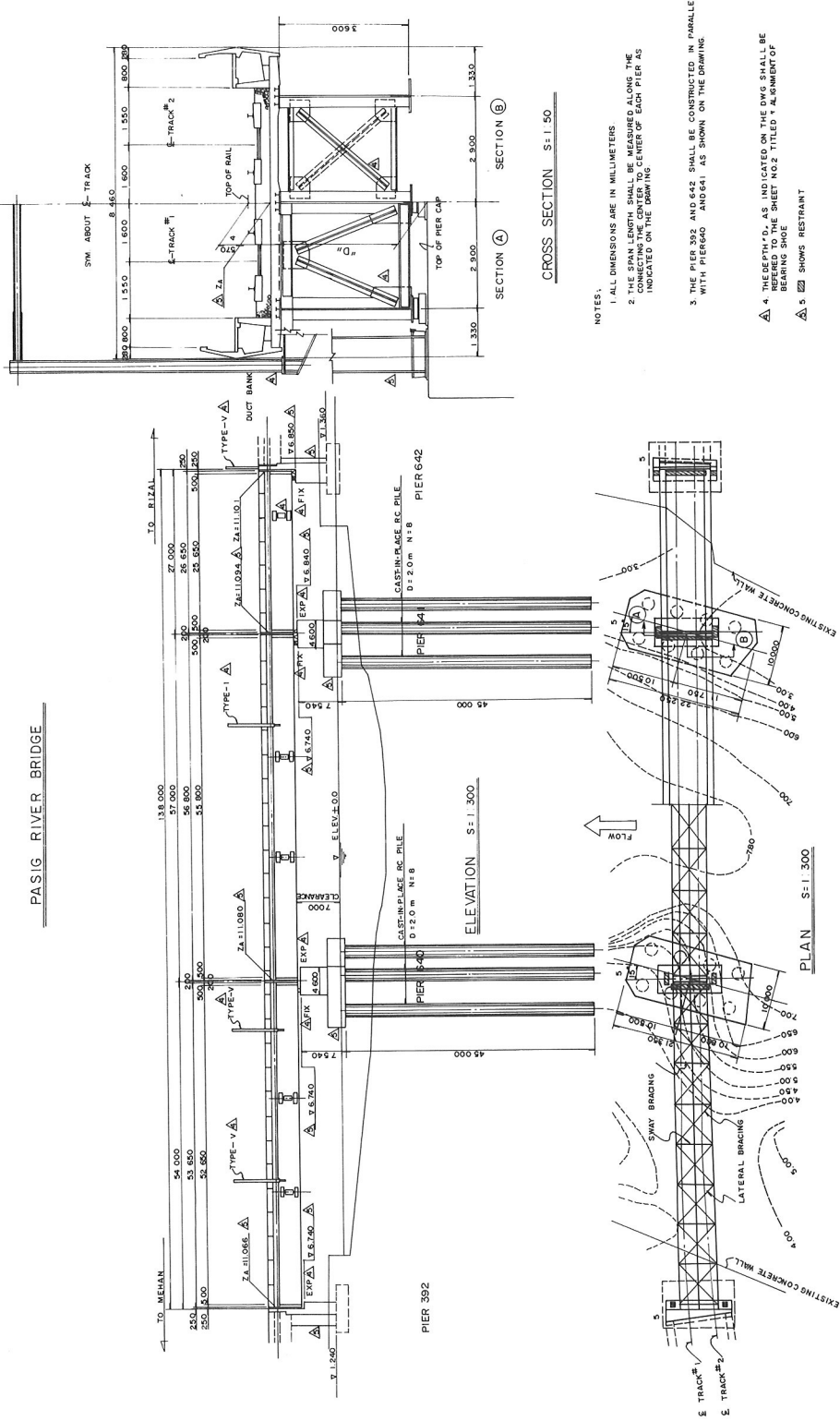


図-3 橋梁一般図

表-1 鋼重

(単位: ton)

	L=54m	L=57m	L=27m
主 桁	173.66	186.11	51.51
対傾構、横構	22.05	19.43	9.79
合 計	195.71	205.54	61.30
沓	13.33		
排水装置	3.83		
伸縮装置	3.79		
耐震装置	74.16		
架線支持受け	4.28		
総合計	561.94		

4-2-2 荷重

1) 活荷重

活荷重についてはLRT train Loadを適用した。
その荷重を図-4に示す。

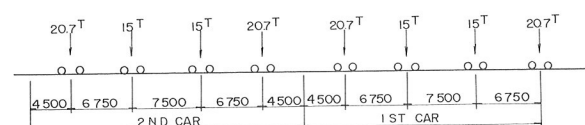


図-4 LRT TRAIN LOAD

2) 風荷重

風荷重強度については次式を適用した。

$$P = C \times \frac{1}{2} \times D \times V^2$$

ここで $C = \text{風力係数} = 1.8$

$$D = \text{空気密度} = \frac{1}{8} \text{ kg} \cdot \text{s}^2 / \text{m}^4$$

$$V = \text{風速 (m/s)}$$

$$V = 160 \text{ km/hr} \quad (\text{載荷時})$$

$$V = 220 \text{ km/hr} \quad (\text{無載荷時})$$

3) 温度変化

温度変化についてはJNR設計基準に準拠するが、その範囲は-10°Cから+15°Cとした。

4-2-3 材料

鋼	材: JIS G 3101 SS41 JIS G 3106 SM41, SM50Y
高力ボルト	JIS B 1186 F10T
スナップド	JIS B 1198
床版コンクリート	$\sigma_{ck} = 280 \text{ kg/cm}^2$ (円筒供試体)
鉄筋	AASHTO M31 Grade 40

4-2-4 塗装系

Pasig River橋に使用された塗装系は以下に示す3区分について規定された。

- 1) 鋼板に対する塗装示様。
- 2) 添接面の塗装仕様。
- 3) 現場での添接完了後における連結部と損傷面の塗装示様。

表-2(上記1)に対する示様を示す。

表-2 PAINTING SYSTEM 1. Plate

Process	Paint & Treatment		No. of Coat	D.F.T (Mic./Coat)		Painting Interval (at 20°C)		
	Generic Name	Kansai's Brand Name		Min.	Ave.			
At Mill	Blast Cleaning to SSPC-SP10 "Near-White" Grade							
Surface Preparation								
Mill-Primer	Inorganic zinc Mill-Primer	SD Zinc Primer ZE NO.1000	1	10	15	Over 24hrs.		
At Work		After Erection, Welded seams, damaged spots and rusted surface shall be blast cleaned to spcc-sp10 and the rest of surfaces shall be cleaned and free from any foreign matter						
2nd Surface Preparation								
Ist Coat	Inorganic Zinc Rich Paint	SD Zinc Primer ZE NO.1500	1	50	75	Over 24hrs.		
2nd Coat	Chlorinated Rubber	Rabamarine Brown Primer	1	30	45	Over 16hrs.		
Intermediate Cover Coat	Phenolic M.I.O	Kanpe Ferrodor F-33	1	50	70	Over 16hrs.		
At Site	Finish Coat		Phenolic M.I.O	Kanpe Ferrodor F-34	1	45	65	Over 16hrs.

4-2-5 耐震設計に関する規定

耐震設計に関する規定に関しては LRT-Specification に興味ある内容があった。すなわち、耐震設計の理念として 2 つのが明記されていた。

① 通常の地震時 ($K = 0.15$)において、橋梁はダメージを被らない (Moderate Earthquake)。

② 予測を上回る地震時において 崩壊を未然に防止する (Very Severe Earthquake)。

上記②の目的を達成するため、構造物の一部を降伏させることによって地震エネルギーを分散させ、この時、他の部分は降伏点以下のストレスレベルを確保するよう設計するという考え方を採った。当初、このプラスティックゾーンを脚根元に設定して検討を進めていたがプラスティックフォースが過大となることから最終的には脚天端に図-5 の様なレストレイントを設置することになった。

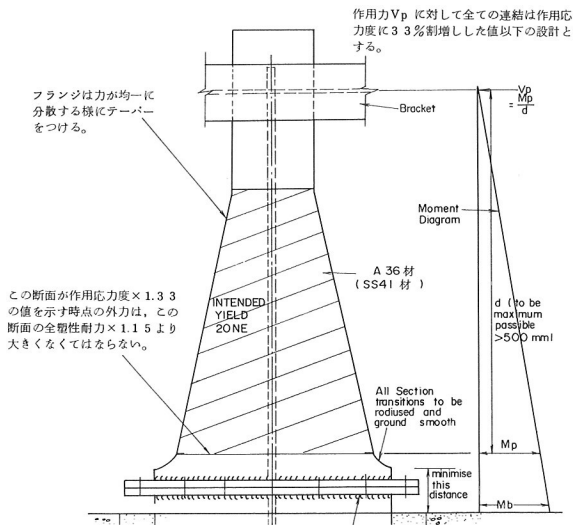


図-5 STEEL RESTRAINT

4-2-6 レストレイントの設計

上部工の設計では JNR の規準を適用した設計であるため特に問題とする点はなかった。ここでは、前節に示したレストレイントの設計手順について述べる。

- 1) Plastic Force の推定
- 2) 死荷重反力 \times 地震 (0.15) $\times 1.6 = V_p'$
- 3) Restraint 断面の仮定
- 4) せん断域の算定

$$A_{sp} = \frac{V_p' \cdot \sqrt{3}}{F_y}$$

$$B_{sp} = \frac{A_{sp}}{t_w}$$

F_y = 鋼材の降伏点

5) Plastic Moment の算定

$$M_p = W_p \times F_y$$

$$W_p = 2 (A_F \cdot Y_F + A_w \cdot Y_w)$$

6) Plastic Force の計算

$$V_p = \frac{M_p}{d}$$

7) $V_p' \approx V_p$ となるまで繰り返し計算をする。

この設計手順の中で注意すべき点としては鋼材の降伏点の設定である。JIS G 3101 SS41 材の降伏点は板厚 16 mm 以下で 25 kg/mm^2 以上、 40 mm 以下で 24 kg/mm^2 以上と規定されているのに対し、実際に供給される鋼材の検査証明書によると、その多くが $25 \sim 32 \text{ kg/mm}^2$ となっていた。本設計では降伏点の上限値を 27.6 kg/mm^2 として検討したためレストレイントを製作する鋼材について降伏点が仮定した上限値以下であることを照査する必要が生じた。従ってこの点については設計図面に降伏点の上限値を明記することが重要である。

本橋に採用したレストレイントの設置位置と構造を図-6, 7 および写真-1, 2 に示す。

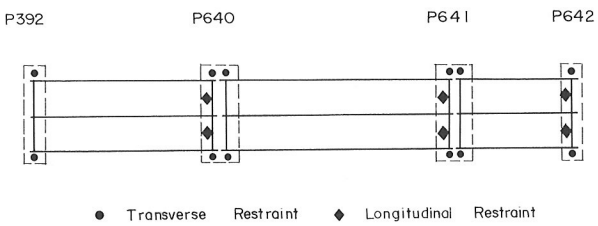


図-6 RESTRAINT 配置図

表-1 でも示した様にレストレイントの鋼重は 74.2トン にも達している。また下部構造の設計においてもプラスティックフォースを考慮した検討をしているため構造体そのものが大きくなっている。

地震力の推定について国内では耐震設計基準にもとづき設計震度が推定されるが、この推定値を越える不測の事態においては特に配慮されていない。従って本プロジェクトで採用した耐震設計の理念はフィリピン国における地震に対する基本的な考え方を示すものであると同時に

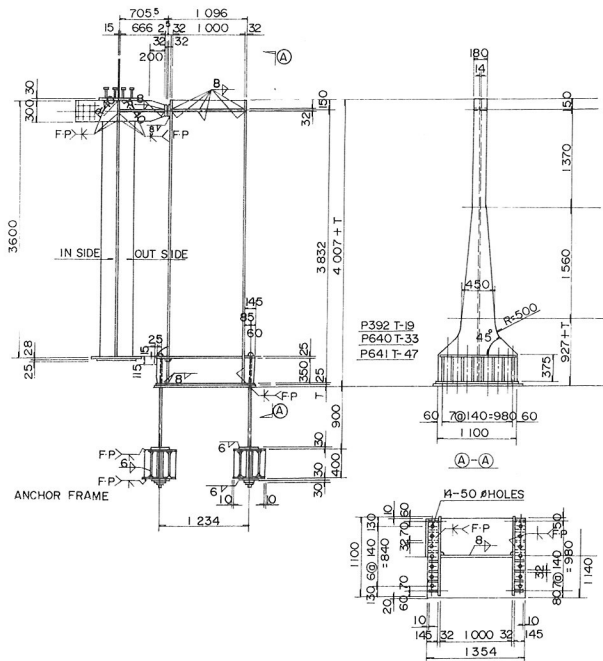


図-7 Transverse Restraint

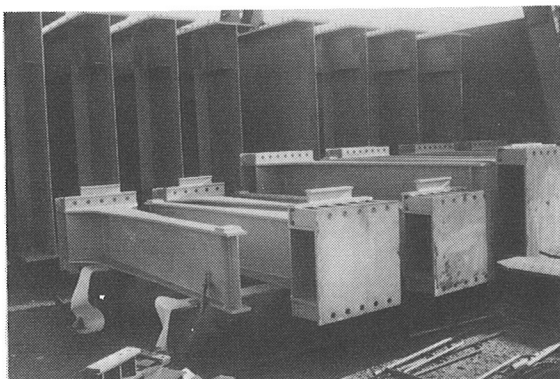


写真-1 Transverse Restraint

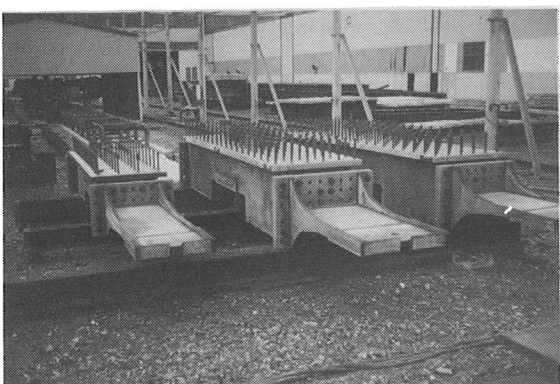


写真-2 Longitudinal Restraint

に、大量輸送システムのインフラストラクチャーとしてその安全性と耐久性を重視したものと考えられる。

現在本橋は下部工事の遅れから架設されていないが、年内には工事が開始される予定である。従ってここでは四国工場での仮組時の写真を写真-3に示す。

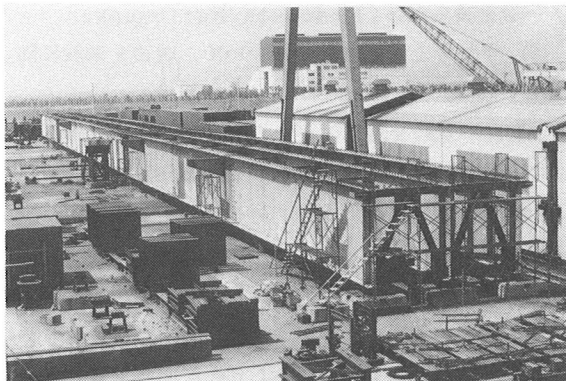


写真-3 仮組状態

4-3 下部構造

下部構造の設計は基礎構造および軸体構造の2つに大別される。基礎構造についてはPNCCより入手したボーリングデータをベースとして検討した結果、 $\phi 2.0\text{ m}$ のRC場所打ち杭を採用した。

一方、軸体の形状についてはレストレインツの設置を考慮して壁式構造となった。P 640 の脚構造一般図を図-8 に示す。

4-3-1 設計基準

- 1) Metro Rail Project
Volume II
Chapter 4
Seismic Design Criteria for the
Pasig River Bridge.
 - 2) "Analysis and Design of Reinforced
Concrete Bridge Structures" 1977
ACI 343-77
 - 3) Specifications for Highway Bridges
"Substructures (1966-1980)" 1981
Japan Road Association

4 - 3 - 2 荷 重

基礎構造の杭頭に作用する断面力について P 640 脚で代表して表-3, 4 に示す。この中で注目されるのは

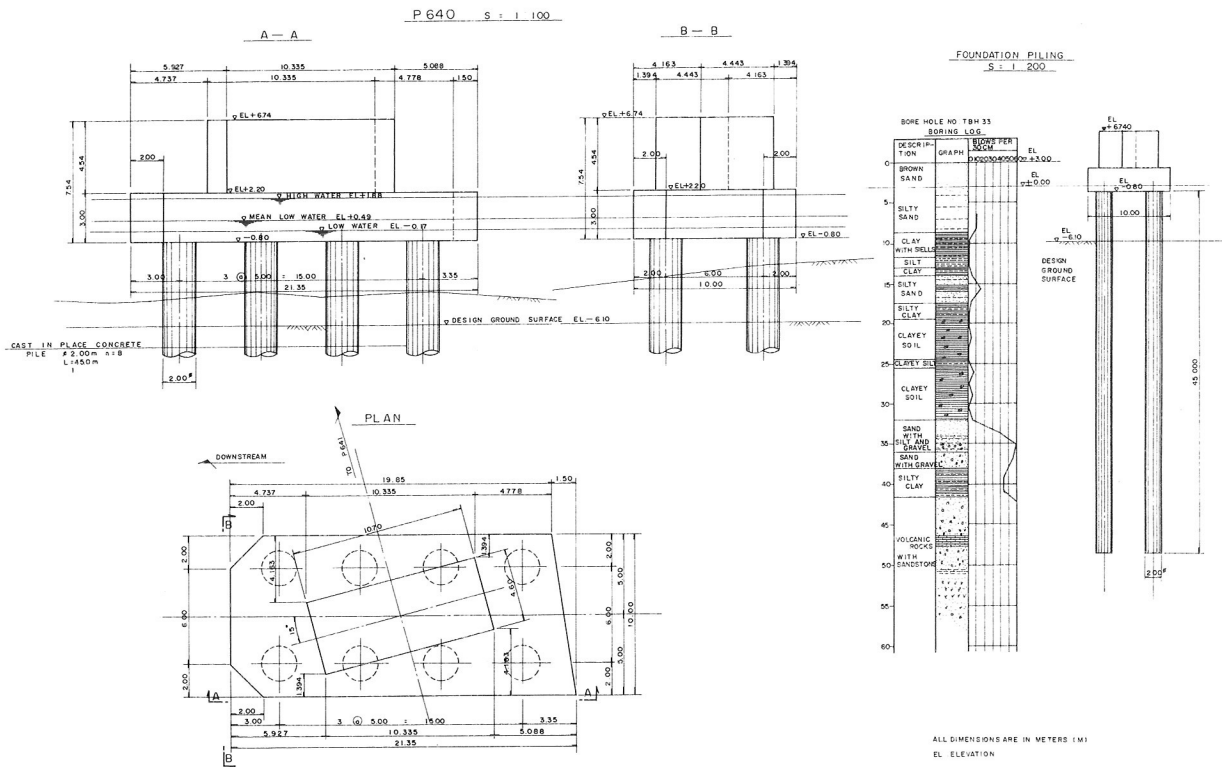


図-8 P 640 脚構造一般図

表-3 橋軸直角方向作用力

Transverse LOAD				
	Column System	Vertical Force N (t)	Horizontal H(t) Force	Moment M (t-m)
①	Dead Load (Super-Structure)	11347.2	—	-12.43
②	ditto (Column)	5363.0	—	—
③	ditto (Pile Cap)	14544.0	—	-29.77
④	ditto (Fender)	43.70	—	481.78
⑤	Live Load (Full Loading)	2500.9	—	-22.26
⑥	ditto (2span 1 Track)	1250.9	—	-211.46 189.20
⑦	Earthquake (①) KH=0.15	—	±170.21	±1945.50
⑧	ditto (②+③+④) KH=0.15	—	±305.17	±760.40
⑨	Plastic Force	—	±428.57	±4457.15
⑩	⑧×2.53 KH=0.38	—	±772.08	±1923.81
⑪	Earthquake (Pile) KH=0.15	—	±47.95	—
⑫	Buoyancy (High Tide)	-541.36	—	—
⑬	ditto (Low Tide)	-127.26	—	—
⑭	Stream Flow Pressure (4 Knot)	—	±10.62	—
⑮	①+②+③+④	3169.12	—	4395.8
⑯	Earthquake (Live Load) KH=0.15	—	±18.76	±252.32

COMBINATION

	Column System	Vertical Force N (t)	Horizontal H(t) Force	Moment M (t-m)
High Tide	1 Standard Case	2877.85	±10.62	417.32
2 Service Earthquake	2752.85	±55.27.1	3587.0	
3 Very Severe Earthquake	2752.85	±1211.27	-6152.82	
4 Standard Case	3291.95	±10.62	417.32	
5 Service Earthquake	3166.95	±55.27.1	3587.0	
6 Very Severe Earthquake	3166.95	±1211.27	-6152.82	

表-4 船舶の衝突作用力

Vessel Collision LOAD				
	Collision System	Vertical Force N (t)	Horizontal H(t) Force	Moment M (t-m)
①	Dead Load (Super-Structure)	11347.2	—	— 11.72
②	ditto (Column)	5363.0	—	—
③	ditto (Pile Cap)	14544.0	—	19.98
④	ditto (Fender)	43.70	—	492.31
⑤	Live Load (Full Loading)	2500.9	—	— 21.29
⑥	ditto (2 Span-1 Track)	1250.9	—	— 209.70 188.41
⑦	Vessel Impact (4 Knot)	—	— 617.00	— 863.80
⑧	ditto (5 Knot)	—	— 1295.00	— 1813.00
⑨	Stream Flow Pressure (4 Knot)	—	±10.62	—
⑩	ditto (5 Knot)	—	±16.28	—
⑪	Buoyancy (High Tide)	-541.36	—	—
⑫	ditto (Low Tide)	-127.26	—	—
⑬	①+②+③+④	3169.12	—	460.61
○				
○				
○				

COMBINATION

	Collision System	Vertical Force N (t)	Horizontal H(t) Force	Moment M (t-m)
High Tide	1 Vessel Collision (4 Knot)	2877.85	— 627.62 — 606.38	— 424.48
2 Vessel Collision (5 Knot)	2627.76	— 312.8 — 271.02	— 1352.39	
3 Vessel Collision (4 Knot)	3291.95	— 627.62 — 606.38	— 424.48	
4 Vessel Collision (5 Knot)	3041.86	— 1312.8 — 1278.72	— 1352.39	

はVery Severe Earthquake時の地震力についてはAcceleration Factor(加速係数)を加味した作用力を推定している点である。

4-3-3 材料

$$\begin{aligned} \text{コンクリート: } & \sigma_{ck} = 210 \text{ kg/cm}^2 \\ & E_c = 2.04 \times 10^6 \text{ kg/cm}^2 \\ \text{鉄筋: } & \text{AASHTO M31 Gr. 60} \\ & \sigma_{sy} = 4218 \text{ kg/cm}^2 \end{aligned}$$

4-3-4 設計

- 下部構造の断面決定では終局強度設計法を用いた。この場合の条件としては(ACI 343-77より),
- a) 鉄筋およびコンクリートのひずみは中立軸からの距離で直線変化する。
 - b) コンクリート圧縮外縁の最大ひずみは0.003とする。
 - c) 鉄筋応力度は通常, ひずみ×Esとするがその上限値はひずみに関係なく降伏点までとする。
 - d) コンクリートの引張強度は無視する。
 - e) コンクリートの圧縮応力度分布とコンクリートひずみの関係はいずれの形に仮定してもよいが等価の矩形応力度分布とするのがよい。
- とした。以上の仮定を図-9に示す。

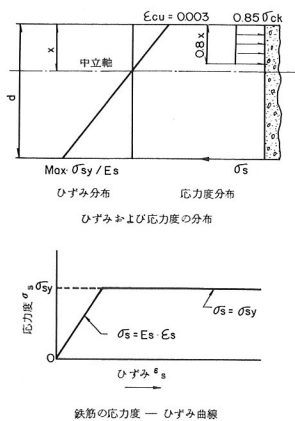


図-9 終局強度設計法の仮定

下部構造の詳細設計においては杭基礎の設計に関する特徴についてその概要を述べる。

第1は群杭の影響についてである。道路橋示方書では杭中心間隔が2.5D程度であれば単杭の横方向地盤反力係数をそのまま使っても、実用上さしつかえない

としている。その理由としては、横方向地盤反力係数の多少の差は、応力的にはそれほど大きな影響を与えないことと、推定の段階でいくらか安全をみていているという判断によっている。

これに対して本プロジェクトの規準では表-5に示すように群杭の影響を考慮すべきであるとしている。

表-5 GROUP PILE EFFECT

Spacing parallel to load direction	Percentage of K for subsequent Piles
8B	100%
6B	70%
5B	55%
4B	40%
3B	25%

この考えは "Behaviour of Pile groups subjected to Lateral Load", Thesis University of Illinois, Urbana, Illinois 1962 ならびに "Stability of Flexible Structures (Piles and Pile Groups)", 5th European Conference on Soil Mechanics and Foundation Engineering, Madrid, 1972 によっている。

第2の特徴はK一値の推定手法である。杭断面力の算定においては位変に等価な深さ方向に一定なK値を推定して解析した点について、コンサルタントからの指摘があった。

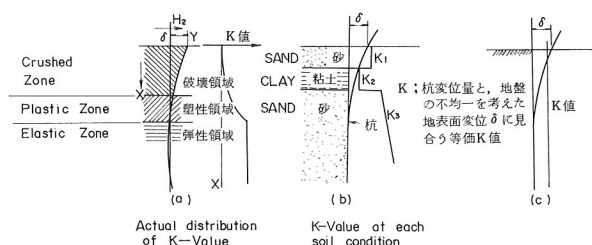


図-10 K値と地盤の変形性状

図-10(a)のように杭の変位量は地表面で最大で、地表面附近から破壊がはじまり、もともと地盤が弾性体としても変位の関数になり、K値は地表面で最低値となり深くなるにつれてK値の減少程度は小さくなり弾性区間にあって一定値となっていると考えられる。

また、地盤構成は深さ方向に一定なK値をもつものは少なく、図-10(b)のようになる。このように、K値は杭の変位量によるK値の減少と、地盤構成の不均一に起因する相違が複雑にからみ合っているので忠実に解析することは不可能に近い。こうしたことから、杭頭と、地表面での変位に着目して、図-10(c)のようにその変位に等価な深さ方向に一定なK値を想定するのが実務的である旨の説明をした。また地震時、衝突時ケースにおけるK値はコンサルタントの指示によって常時の3倍として解析した。

杭断面力の解析では準拠する規準が一体化されていなかったため、以上述べた様な点が設計上の問題となつたのである。参考のために、杭断面、相互作用曲線および杭配筋図を図-11、表-6、図-12および図-13にて示す。

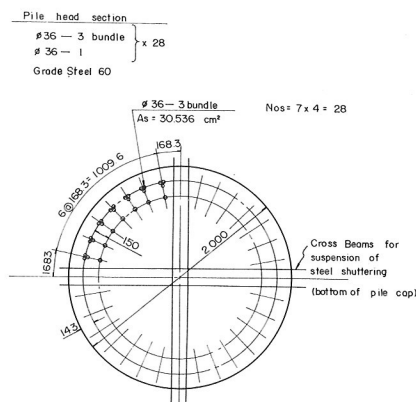


図-11 杭頭の断面

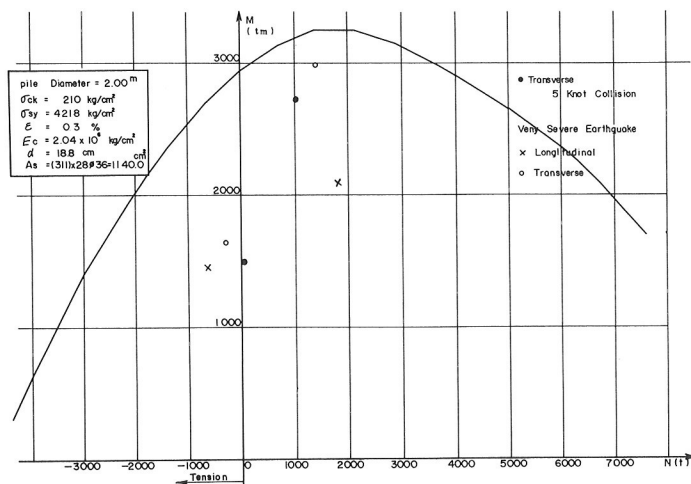


図-12 Interaction Diagram

表-6 Interaction Diagram

[Input]

R	Rs	As	Ns	Sck	Ssy	Es	ecu	esy
m	m	cd/one	No	kq/cd	kq/cd	kq/cd	%	%
1.000	0.812	40715	28	210	4218	20.4 E5	0.30	-

[Output]

X m	e c	e s	Nu t	Mu tm	X m	e c	e s	Nu t	Mu tm
0.100	-0.30	51.4	-4733	72	1.600	-0.30	0.04	6155	2302
0.200	-0.30	24.2	-3916	724	1.700	-0.30	0.02	6656	2114
0.300	-0.30	15.1	-3014	1384	1.800	-0.30	0.00	7123	1919
0.400	-0.30	10.6	-2188	1921	1.900	-0.30	-0.01	7557	1719
0.500	-0.30	7.9	-1426	2351	2.000	-0.30	-0.03	3148	904
0.600	-0.30	6.1	-697	2699	0.000	0.00	0.00	0	0
0.700	-0.30	4.8	0	2959	0.000	0.00	0.00	0	0
0.800	-0.30	3.8	667	3138	0.000	0.00	0.00	0	0
0.900	-0.30	3.0	1383	3242	0.000	0.00	0.00	0	0
1.000	-0.30	2.4	2095	3258	0.000	0.00	0.00	0	0
1.100	-0.30	1.9	2882	3155	0.000	0.00	0.00	0	0
1.200	-0.30	1.5	3671	2985	0.000	0.00	0.00	0	0
1.300	-0.30	1.2	4374	2816	0.000	0.00	0.00	0	0
1.400	-0.30	0.9	5016	2649	0.000	0.00	0.00	0	0
1.500	-0.30	0.6	5608	2479	0.000	0.00	0.00	0	0

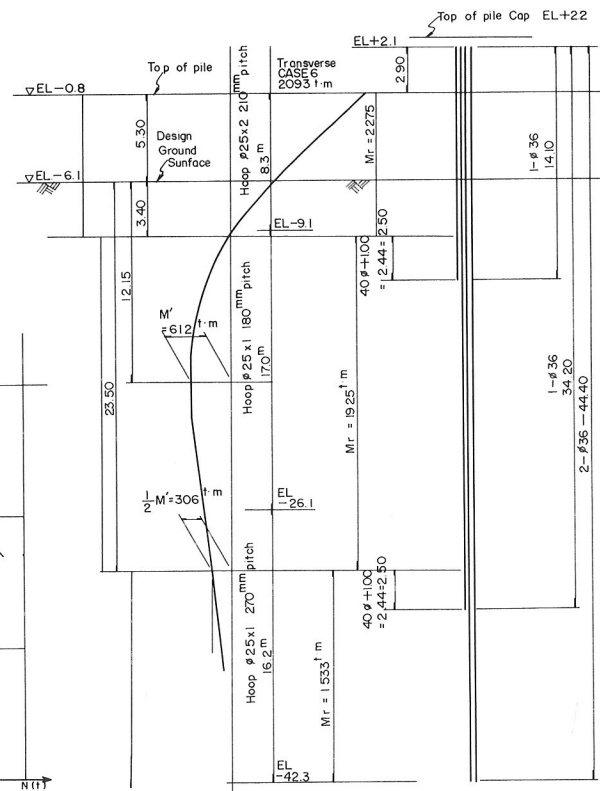


図-13 くい配筋図

5. Tripa de Gallina 橋の架設

5-1 概 要

当橋はLRTの始発側に設けられる操車場及び、車輌整備工場と本線を結ぶ引込み線が、トリバデガリナ川を横断する為に架設されたもので、上流よりNo.2, No.1の2橋からなり、双方共単弦間トラス橋で、架設重量は、No.1が105.6トン、No.2が、92.7トンである。

5-2 工 法

当初は、杭支保工に依るトラッククレーン架設で計画されたが、現地調査の結果、右岸側の搬入路の確保が困難であり、杭及び支保工等の鋼材の現地入手がむづかしい事等の状況を検討した結果、台船を使っての引出し架設工法（以下台船引出工法）が最適であると判断した。

しかしながら、台船引出工法にも次の様な問題点が指摘された。1)架設地点の150m下流に水門があり、既製のバージの通過は不可能である。2)海に近く、川の水位は海水の干満に影響され、満潮時の水深が0.8m（左岸寄）から2.6m（中央部）である為、台船の吃水が制限される。3)台船上での格点支持の関係から、台船の橋軸方向の寸法は8m以下に制限される。4)斜橋（No.1で $\theta = 50^{\circ} 12' 21''$ ）であるために生じる台船上支点での反力差と台船の安定の関係。

以上の問題点について、以下の様な対策を行った。すなわち、図-14に示すように、橋軸方向に3個連結した鋼製タンクを1ユニットとして、これを橋軸直角方向に8ユニット連結し、合計24個のタンクから成るポンツーンを現場で製作した（図-15）。これにより、前記の1)から3)の問題は解決出来た。ただし水深については、浅い部分をドラグラインで浚渫し、満潮時に、1.5mの水深を確保出来るようにした。又、4)については、当初計画の2点支持を4点支持として、台船の安定を計った。

5-3 架 設

杭は全て、左岸側に設けた軌条上に、トラッククレーン（25トン）で地組みし、HTB施工後40トン台車4台に載荷し、ワインチ（30HP）で台船位置まで引出した。

次に前方台車から台船に盛替後、再びワインチによりトラス先端が右岸橋台（A2）に到達する位置まで引出した。さらに両端を仮受し、台船及び後方台車を撤去したのち、トラスを所定の位置まで扛下、横取り及び縦取り調整して

架設を完了した。図-16に架設作業全体のステップを示す。

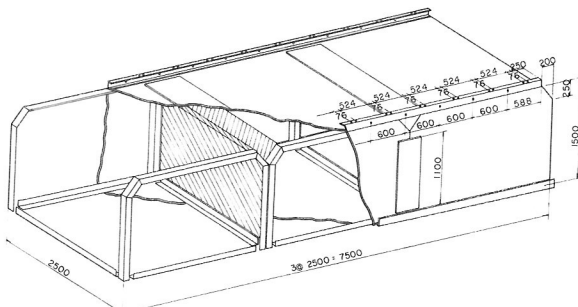


図-14 バージユニット組立て要領

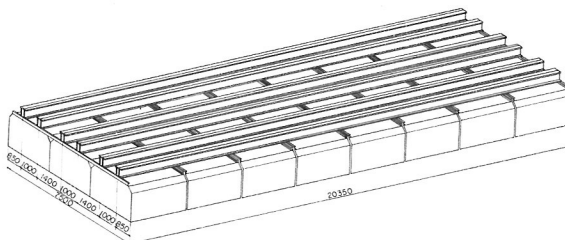


図-15 バージ組立図

表-7 架設作業記録 (Bridge No.1)

日・時	作業概要	台船の吃水 (cm)	川の水位 (EL=cm)	潮流	水門の状態
2月26日					
4:00 Step 3-1杭引出し		72	止	閉→開	
4:45	杭引出完了				
5:00 Step 3-2台船引込み	52 (44)	74	上	閉	
8:10	台船引込み完了	53	76	上	閉→開
18:00 Step 3-3前方台車撤去 (台船支持完了)	109	142	止	閉→開	
19:20 Step 4-1引出し完了	109 (103)	142	下	閉	
19:50 Step 4-2仮受完了(A2) 台船内注水開始		140	下	閉→開	
22:10	台船撤去	75	89	下	閉

以上、Step 4-2 以降の作業は翌日とした。

表中()内は計画吃水量

表-7はBridge No.1の台船引出し作業に於ける、時間、台船の吃水量、川の水位、潮流の変化及び、下流の水門の制御状況の実施記録である。作業時間については、

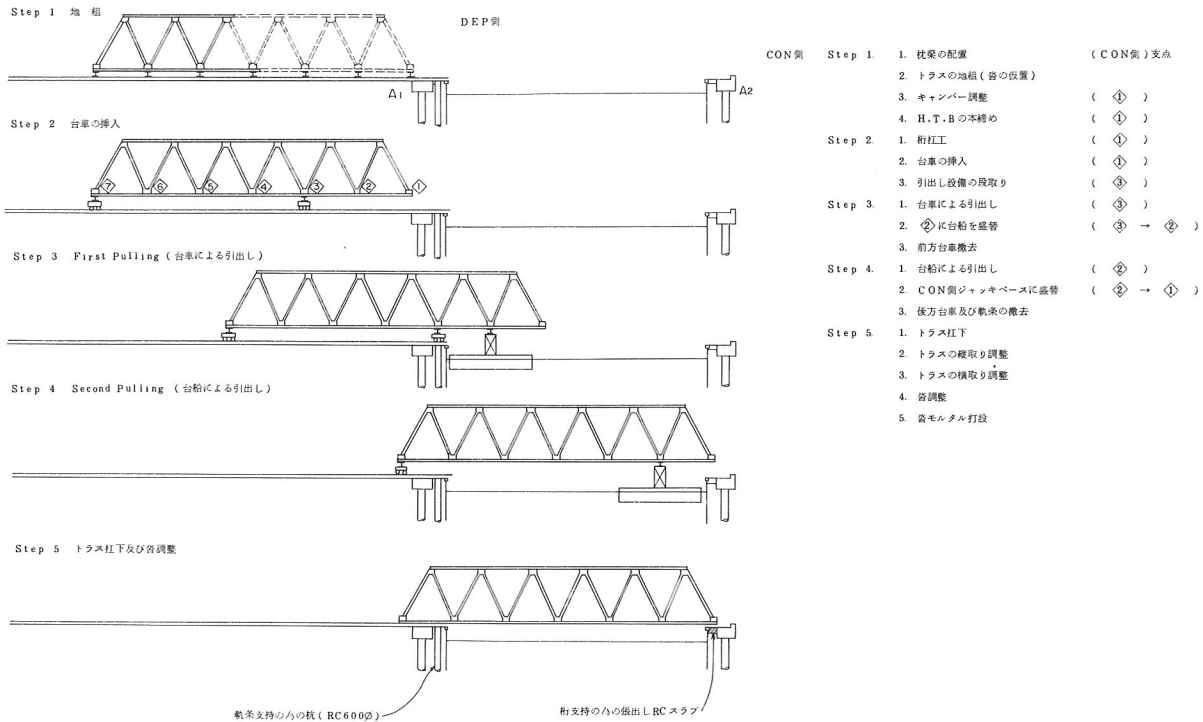


図-16 引出レスステップ図

マニラ港の潮位データを参考に計画し、作業中の水位保持には、水門を利用しその制御を管理局に依頼した。

台船の吃水量の推移について、載荷前の値に計画値とのひらきがあるのは、タンク内に残留していたアスファルト材の自重分と思われる。しかし、台船にかかる反力は計画値とほぼ一致した。又、Step 4-2 の台船内注入は、作業時間短縮の為にポンプで、台船のバランスを保ちながら、各タンク内へ注水したものである。Step 3-1 及び、Step 4-1 の引出の際に、斜橋故に左右の張力バランスを保ち、トラスを橋軸方向にまっすぐ動かせるように、エコライザーを設けた。若干ワイヤリングは複雑になつたが、引出し時には有効に機能し、トラスの横振れはほとんどなかった。

5-4 工程

表-8 にトリパデガリナ橋の計画及び実施工工程を示す。作業時期が乾季中であったので天候に恵まれ、工程は順調な進捗をみた。ただし、現地労働者の技術的能力及びクレーン、ウィンチ等の機械の性能は、日本とは比較にならないくらい低いので、当初よりその辺を考慮した工程を計画したが、結果は表の通りであった。又、HTB 及び塗装等

の品質管理は、現地職人の能力向上と材料及工具の点検に積極的に努め、要求される品質の確保に努力した。特に現場塗装開始1週間ぐらいは、さながら検査官立会の職業訓練といった様子であった。写真-4, 5 に施工状況を示す。

表-8 TRIPA DE GALLINA BRIDGES

	JAN	FEB	MAR	APR
Touch up Painting				
Preparation for Launch				
Assembling No.2				
H.S.B.				
Launching and Adjustment				
Sismatic System				
Final Painting				
Launching Way				
Assembling No.1				
H.S.B.				
Launching and Adjustment				
Sismatic System				
Final Painting				
Site Cleaning				

2D/Dec/B3

Actual
: Plan

5-5 その他

マニラ市内には、実際にさまざまなデザインのビルが群

立しているが、全般的に土木・建築技術の進歩は日本に比べ、そうとう緩やかなように思われた。又、安全管理という概念は全く普及しておらず、労務者に作業上の危険性を十分に認識させる必要があった。又、クレーン等は公的検査制度がない為に、その性能は信頼性に乏しく、故障は日常茶飯時であったが、重量物の取扱いには充分能力に余裕を持たせて作業させた。



写真-4 トレス地組完了、台車挿入状況

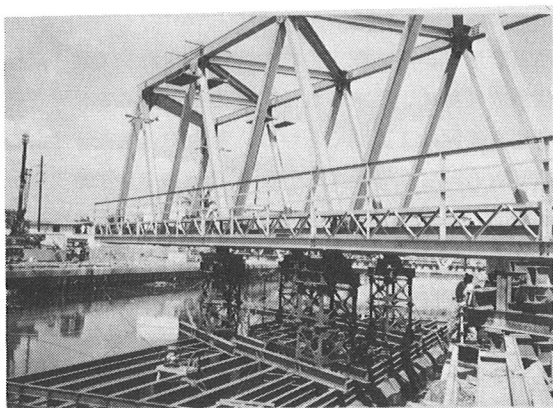


写真-5 台船盛替

6. むすび

1982年8月、Pasig River橋の計画業務が着手されて以来、本橋の建設に関しては技術的に多くの事を学ぶ機会に恵まれた。中でもVery Severe Earthquake時の免震機構、下部構造物のUltimate Strength Designについては、今後ますます研究され実際の設計に取り入れしていくことは容易に推測される。従ってこうした新しい技術の習得にわれわれは今後も積極的に取組んでいくことが大切であると思われる。

一方、本件業務を通して最も苦労した点は準拠する規準が多岐に亘っていたこと、コンサルタントのスタッフがヨーロッパ系の技術者であったことならびにわれわれとの契約当事者がPNCCであったことなどが重なったことによって業務の遂行上に支障が出た点であり、またコンサルタントとの協議についても技術の理解にくいちがいが出た点であった。

現在Pasig River橋については架設のための事前準備が継続されるとともに軌道敷設工事も併行して実施されている。